

ポリビニルアルコール膜の不溶化
Insolubilization of Poly(vinyl alcohol) Membranes
沼田 みゆき・仲西 正
Miyuki NUMATA・Tadashi NAKANISHI
(お茶の水女子大学大学院 ライフサイエンス専攻)

1. はじめに

ポリビニルアルコール (PVA) はOH基を有する親水性のポリマーである。OH基は反応基としても利用可能であるので、PVAには様々な修飾を行うことができる。また、顕著な物理的・化学的安定性により、膜の調製に適した物質であると考えられている。PVAを水に溶解し乾燥しただけの未処理膜は水溶性が高いので、PVA膜の応用では不溶化に関する技術を選択し、耐水化の程度を調節することが重要である。PVAの溶解と不溶化にはOH基による強力な水素結合が関係している。PVAを溶解させる場合には、この水素結合を切断すればよく、逆に不溶化させる場合には、この水素結合を強めて結晶性を向上させることが必要となる。不溶性で安定性の高いPVA膜を調製するために、熱処理や架橋反応といった様々な技術と調製されたPVA膜の特性に関して研究が数多くされてきた^{1,2)}。生活材料物性研究室においても、従来からグルタルアルデヒドを用いた架橋反応により、安定性の高いPVA膜を調製し、塩の選択透過性について研究してきた。本報告ではPVA膜特性を決定するための重要な因子である、不溶化のための技術ならびに完全鉱化型PVAからなる膜の特性に関する研究についてまとめる。

2. 热処理による不溶化³⁾

PVAにおける熱処理効果には、温度変化と処理時間変化がある。結晶化度は熱処理温度に一義的に支配され、熱処理温度を上昇させ、また、架橋処理時間を長くすることによりPVAは耐水化される。幅5mmのPVAの皮膜に2gの荷重をかけたものを水中に入れて温度を上昇させた場合の、耐熱水温度と熱処理温度との関係をFig.1に示す。熱処理しない皮膜は60°C程度で溶断するが、熱処理温度の上昇とともに溶断温度は上昇する。しかし、処理温度が200°Cであっても沸騰水中では溶断する。このようにPVA皮膜の耐水性は熱処理によって改善されるが、沸騰水に耐えるようにすることはできない。水に対する溶解性の点から耐水性を付与するためには、できるだけ高い温度で熱処理する必要があるが、200°C以上になるとPVAの熱分解が起こるので、180°C程度にすることが望ましいとされている。

Amandra⁴⁾らは熱処理をしたPVA膜が未処理のPVA膜と比べて、高いL-トリプトファン選択性をもつことを

示した。10%PVA水溶液を乾燥させた未処理膜と100°Cで1時間熱処理をした膜のL-トリプトファンの拡散係数をTable 1に示した。熱処理をしたPVA膜は未処理のPVA膜に比べて拡散係数は40%低く、透過係数においては55%低いことがわかった。KatzとWydeven⁵⁾は熱処理をしたPVA膜は未処理と比べて、高いNaCl選択性をもつことを示した。Fig.2に未処理と熱処理をしたPVA膜の塩排除に対する塩供給濃度依存を示す。研究に用いたPVAは2種類であり、分子量86,000(80PVA)と分子量115,000(90PVA)である。8-10%のPVA水溶液を乾燥させて未処理膜を調製した。PVA膜の熱処理条件はTable 2にまとめた。Fig.2より架橋温度が高いほど、塩排除効果が大きいことがわかった。また、Fig.3に熱処理時間の関数として175°Cで熱処理をしたPVA膜の30°Cでの水透過係数と塩透過係数を示す。このデータから、熱処理したPVA膜の塩透過係数は水透過係数よりも、熱処理時間と共に大きく減少していることがわかる。30分間熱処理をしたPVA膜に対して水の透過係数は約88%減少しているのに対し、塩の透過係数は約98.5%まで減少している。この現象はDonnan型イオン排除機構により説明できるとしている。

Table 1 Diffusion coefficients

L-tryptophan diffusion coefficients ($\times 10^9 \text{ cm}^2/\text{s}$)	
Uncrystallized PVA	10.5 ± 1.59
Crystallized PVA	6.73 ± 0.557

Table 2 Heat treatment conditions of the investigated PVA membranes.

Treatment	Temperature (°C)	Duration (min)
0	Untreated	
1	120	80
2	160	70
3	175	30
4	175	70

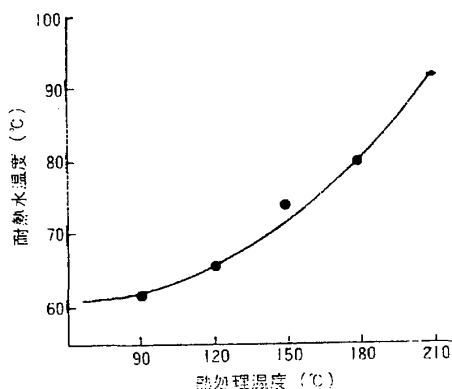


Fig. 1 Crosslinking temperature and insolubilization.

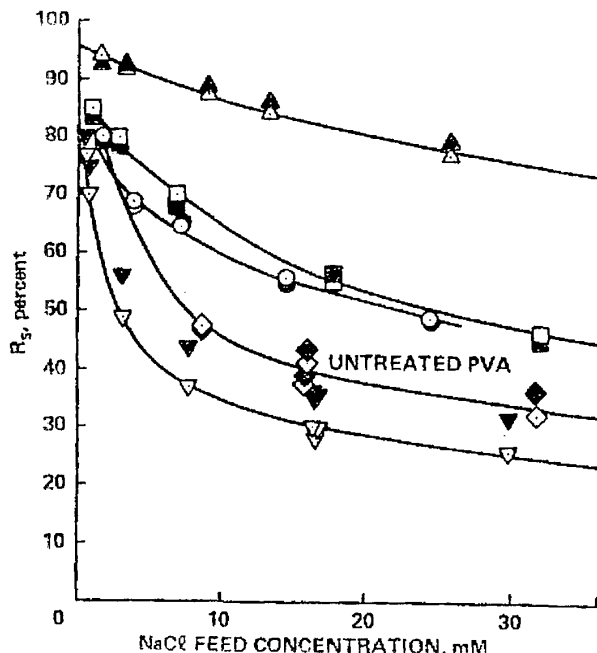


Fig. 2 Feed concentration dependence of the salt rejection of untreated and heat treated PVA membranes.

(▽) treatment 1(90PVA), (▼) treatment 1(80PVA),
 (○) treatment 2(90PVA), (●) treatment 2(80PVA),
 (□) treatment 3(90PVA), (■) treatment 3(80PVA),
 (△) treatment 4(90PVA), (▲) treatment 4(80PVA).

3. 架橋反応による不溶化³

架橋剤は大きく分けると 7 つに分類される。アルデヒド類、メチロール化合物、活性化ビニル化合物、エポキシ化合物、エステル、ジイソシアネート、無機系架橋剤である。ここでは、一般的によく用いられるアルデヒド類についての研究を取り上げる。

PVA は酸を触媒として、各種のアルデヒドと反応し、アセタール化反応による OH 基の減少により、耐水化される。この反応の様子を Fig. 4 に示す。Fig. 4 の(a)のように分子内の隣り合った水酸基間に 6 員環の分子内アセタールを形成するが、(b)のように他の分子の水酸基間に分子間アセタールを形成して、分子間橋かけをする場合もある。また、市販の PVA には(a)のような 1-3 グリコール

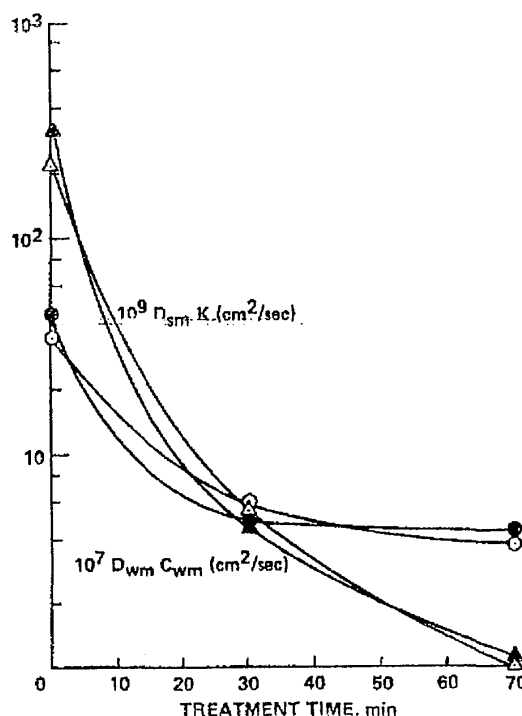


Fig. 3 Effect of the duration of heat treatment at 175°C, on salt and water permeabilities of PVA at 30°C. (○, △) 90PVA, (●, ▲) 80PVA.

結合ばかりではなく、1~2%の 1-2 グリコール結合が存在するので、(c)のような 5 員環アセタールの形成も考えられる。グルタルアルデヒドで架橋した PVA 膜に関しては特に数多くの研究^{6,7)}がある。グルタルアルデヒドが一般に広く用いられる理由として、PVA とグルタルアルデヒドの反応が容易に進行し、できた物質が安定であること、また生成物は水であり、反応から有害な物質が生まれないことが挙げられる。架橋方法も様々あるが、代表的な架橋方法として 2 つを挙げる。一つは PVA 水溶液を乾燥させて未処理の PVA 膜を調製した後、架橋溶液に浸漬させて架橋を行う方法である。Dai⁸⁾らは架橋剤としてグルタルアルデヒドを用いて孔のサイズが非対称である PVA ハイドロゲル膜を調製した。これらの膜は非対称性をつくるために、ハイドロゲルの厚さに対してグルタルアルデヒド濃度勾配を設定している。もう一つは PVA 水溶液にあらかじめグルタルアルデヒドを溶解させてから、乾燥させる方法である。

グルタルアルデヒドで架橋した PVA 膜の輸送特性に関する研究も多く見られる。Li⁹⁾らは牛血清アルブミン (BSA) の排除効果を調べ、グルタルアルデヒド濃度が増加するほど排除効果は高いことを示した。分子量 11,000-31,000 の PVA を用い、0.3-1.0wt% の PVA 水溶液に架橋剤であるグルタルアルデヒドと触媒である硫酸、緩衝として酢酸、媒体としてメタノールを加えて、乾燥させて膜を調製した。グルタルアルデヒド濃度に対する

PVA膜のタンパク除去率をFig.5に示す。グルタルアルデヒド濃度は0.1-1.2vol%で変化させ、他のパラメーターは固定した。グルタルアルデヒド濃度が増加するにつれて、BSA排除効果は高まり、水の流束は減少した。また、Yuら¹⁰はグルタルアルデヒド濃度が増加するにつれて、PVA膜のイソプロパノール(IPA)透過率が減少することを示した。架橋後のPVA膜に対するグルタルアルデヒド濃度のIPA選択性の効果をFig.6に示す。用いたPVAの分子量は89,000-98,000であり、10%水溶液を乾燥させて未処理膜を調製し、所定のグルタルアルデヒド濃度で架橋した。Fig.6から、グルタルアルデヒド濃度が増加するにつれて水に対する選択性が増加することがわかる。これはIPAの透過流束が水の透過流束よりも大きく減少するためである。以上の結果は、反応溶液中のグルタルアルデヒド濃度と反応溶液中への浸漬時間が増加するにつれて、架橋度が増加することによると考えられる。Yeomら¹¹やKusumocahyo⁹の研究を紹介する。Kusumocahyoは10%PVA水溶液を乾燥させて未処理の

PVA膜を調製した後、架橋溶液(5vol%グルタルアルデヒド、0.12vol%酸触媒と溶媒としてアセトン)に未処理のPVA膜を313Kで6-48時間浸漬させて架橋を行った。架橋時間と架橋密度の関係をTable 3に示す。高いグルタルアルデヒド濃度と浸漬時間の増加により、調製された膜はより密なネットワーク構造となり、高分子鎖が動きにくくなる。それゆえ透過分子の溶解性と拡散性を減少させると考えられる。

Table 3 Crosslinking density of PVA membranes with different crosslinking time

Crosslinking time (h)	Crosslinking density (kmol/m ³)
6	1.243
24	1.749
48	5.443

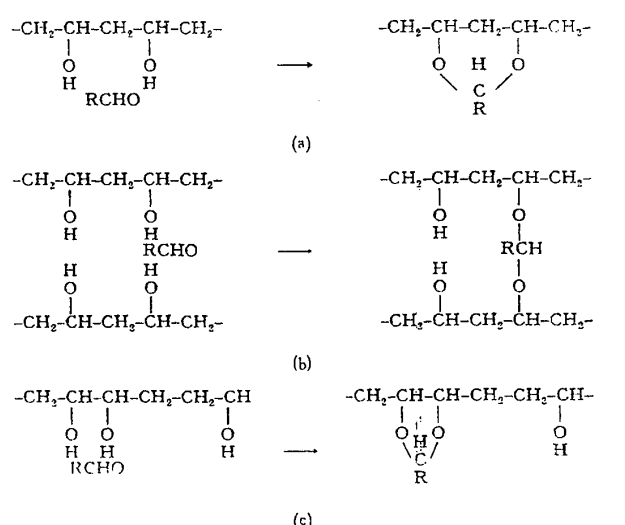


Fig.4 Acetalization of PVA.

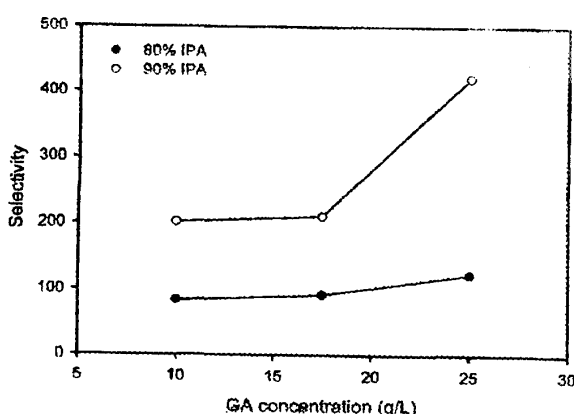


Fig.5 Effect of glutaraldehyde concentration in PVA casting solution on the PVA membranes.

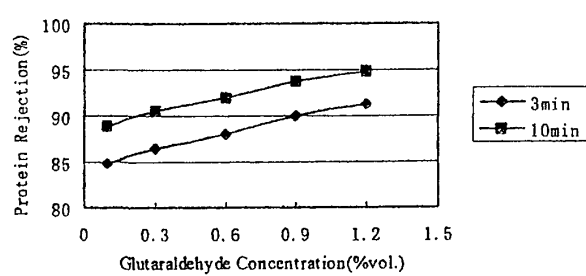


Fig.6 Effect of glutaraldehyde concentration on selectivity with 10wt% PVA membranes.

Table 4 Salt permeabilities of untreated, heat treated, and radiation-crosslinked PVA membranes

Heat treatment conditions		Water (cm ² /s)	Salt (cm ² /s)	NaCl feed concentration (mM)
Temperature (°C)	Duration (min)			
Untreated		0.18±0.04	19±6	15.8
120	80	0.14±0.04	14±9	16.6
160	70	0.27±0.1	3±3	25.0
175	70	0.13±0.03	62±20	26.0
Radiation crosslinked		0.10±0.01	14±3	20.0

5. 放射線、紫外線による不溶化

水膨潤フィルムまたは水溶液を酸素が補給されにくい状態で、放射線や紫外線を照射するとPVAを容易に架橋することができる。KatzとWydeven^{5,12)}は照射架橋したPVA膜と未処理のPVA膜と熱処理したPVA膜に対して水と塩の透過係数を測定した。結果をTable 4に示す。照射架橋したPVA膜は未処理に比べて塩選択性がいくぶん高い。これは架橋されたネットワークによる比較的高い自由体積が原因である。また、熱処理したPVA膜が照射したPVA膜よりも高い塩選択性を持つこと、そして120°Cで80分間熱処理したPVA膜は、照射したPVA膜と同じくらいの水と塩の選択透過性を持つことを示した。2つの異なる方法を用いて架橋したPVA膜ではあるが、同様な構造や膜特性をもつと考えられる。

架橋間分子量が3500から8000の間の照射架橋したハイドロゲルは弱く、簡単に破れ、非常に低い引張弾性率を持ち(70psiまで)、破断強度は10psiであった¹⁴⁾。結晶性を高めるためにPeppasらは、照射架橋した後に、室温でゆっくり脱水和させ熱処理をするなど、架橋を3段階に分けて行ったPVAハイドロゲルを調製した。照射架橋しただけのPVAゲルの極限弾性率は5-25psiの間であったが、熱処理を加えたPVAゲルの極限弾性率は500から1500psiの値となり、熱処理温度が上昇または熱処理時間が増加するにつれて、高弾性となった。照射架橋したハイドロゲルも熱処理により高い弾性率を持つことができる。

6. まとめ

不溶化のための技術の選択はPVA膜の性質を決定づける要因となる。用いる技術はひとつだけとは限らず、熱処理とアルデヒドによる架橋反応といった両方を用いたPVA膜の特性に関する研究¹⁵⁾もあり、用途によって使い分けることが必要となる。今回は熱処理、アルデヒドに関する架橋反応、放射線や紫外線による架橋といった基本的な架橋方

法について述べたが、他にもさまざまな架橋剤や架橋方法が存在する。特に架橋剤の種類が異なるPVA膜の特性について注目することは、透過性制御の観点から興味深いのではないかと考えている。生活材料物性研究室ではジアルデヒドと側鎖アルデヒドを用いてPVA膜を架橋し、PVA膜中の水の状態そして膜の特性である塩吸着について検討する予定である。

【文献】

- 1) M.Higa, M.Koga, A.Tanioka, SENI GAKKAISHI, 56, 290 (2000).
- 2) J.W.Rhim, C.K.Yeom, S.W.Kim, J.Appl.Polym.Sci., 68, 1717 (1998).
- 3) 長野、山根、豊島、ポバール、高分子刊行会 (1992).
- 4) A.Amanda, A.Kulprathipanja, M.Toennesen, S.K.Mallapragada, J.Membr.Sci., 176, 87 (2000).
- 5) M.G.Katz, T.Wydeven, J.Appl.Polym.Sci., 26, 2935 (1981).
- 6) S.P.Kusumocahyo, K.Sano, M.Sudoh, M.Kensaka, Sep.Purif.Technol., 18, 141 (2000).
- 7) N.D.Hilmiglu, A.E.Yildirim, A.S.Sakaoglu, S.Tulbentci, Chem.Eng.Process., 40, 263 (2001).
- 8) W.S.Dai, T.A.Barbari, J.Membr.Sci., 156, 67 (2000).
- 9) Li Na, Liu Zhongzhou, Xu Shuguang, J.Membr.Sci., 169, 17 (2000).
- 10) J.Yu, C.H.Lee, W.H.Hong, Chem.Eng.Process., uncorrected proof (2001).
- 11) C.K.Yeom, K.H.Lee, J.Membr.Sci., 109, 257 (1996).
- 12) M.G.Katz, T.Wydeven, J.Appl.Polym.Sci., 27, 79 (1982).
- 13) N.A.Peppas, W.Merrill, J.Polym.Sci., 14, 441 (1976).
- 14) W.-I.Cha, S.-H.Hyon, Y.Ikada, Makromol.Chem., 194, 2433 (1993).